

Aspekty techniczne pracy

Generacja muzyki przy pomocy metod uczenia maszynowego

Problemy napotkane podczas pracy

- Tokenizacja plików MIDI
- Trening modelu – adaptacja w RL
- Niestabilność oraz skalowalność modelu
- Nowa nadzieja

Tokenizacja

MidiTok: A Python package for MIDI file tokenization

**Nathan Fradet^{1,2}, Jean-Pierre Briot¹, Fabien Chhel^{4,3},
Amal El Fallah Seghrouchni¹, Nicolas Gutowski³**

¹Sorbonne University, CNRS, LIP6, F-75005 Paris

²Aubay, Boulogne-Billancourt, France

³University of Angers, LERIA, 49000 Angers, France

⁴ESEO, ERIS, 49100 Angers, France

<https://github.com/Natooz/MidiTok>

Paczka zawiera w sobie wiele algorytmów tokenizacji z różnych artykułów naukowych, które są zebrane pod wspólny interface. Paczka również umożliwiła integrację z tokenizerami Hugging Face, przez co możliwe jest tworzenie pipeline-ów.

Kolejną zaletą, jest *out of the box* tworzenie *datasetów* w bibliotece Torch, przez co implementacja *training loopa* jest o wiele prostrza.

Trening modelu – adaptacja w RL

$$V = \{v_1, v_2, \dots, v_n\}$$

$$\text{Model}(S_t) \rightarrow p(V)$$

$$S_{t_0} \quad v_8, v_5, v_{12} \rightarrow v_{t_0} \quad v_{t_0} \sim p(\text{Model}(S_{t_0}))$$

$$S_{t_1} \quad v_8, v_5, v_{12}, v_3 \rightarrow v_{t_1}$$

$$S_{t_2} \quad v_8, v_5, v_{12}, v_3, v_{21} \rightarrow v_{t_2}$$

Model generuje na wyjściu rozkład prawdopodobieństwa nad wszystkimi tokenami, z którego następnie **losujemy**, kolejny token w sekwencji. Operacja losowania nie jest różniczkowalna, więc nie można po niej policzyć gradientu, co sprawia, że nie można z zachowanymi gradientami jej przekazać dalej (w moim podejściu do dyskryminatora modelu GAN), co uniemożliwia trening. Rozwiązaniem jest potraktowanie treningu jako problemu RL, gdzie stan w którym znajduje się agent to obecna sekwencja, a akcją, którą należy podjąć jest wylosowanie tokenu. Model jest uczony algorytmem *gradient policy* REINFORCE. Podejście to zostało zaprezentowane w artykule, gdzie wprowadzono model SeqGAN.

Niestabilność oraz skalowalność modelu

Jak każdy model GAN, trening modelu jest nietrywialny, na co składa się różnica w zaawansowaniu generatora i dyskryminatora. Problemem modelu jest również możliwość nieosiągnięcia zbieżności dla pewnych zbiorów danych.

Problemem również okazał się trening na sprzęcie prywatnym (GPU z 12GB VRAM), gdzie implementacja „zapychała” pamięć już dla sekwencji o długości 40 tokenów. Zapotrzebowanie na pamięć rośnie liniowo z ilością tokenów, więc dla dłuższych sekwencji, nawet na lepszym sprzęcie trening byłby mało opłacalny.

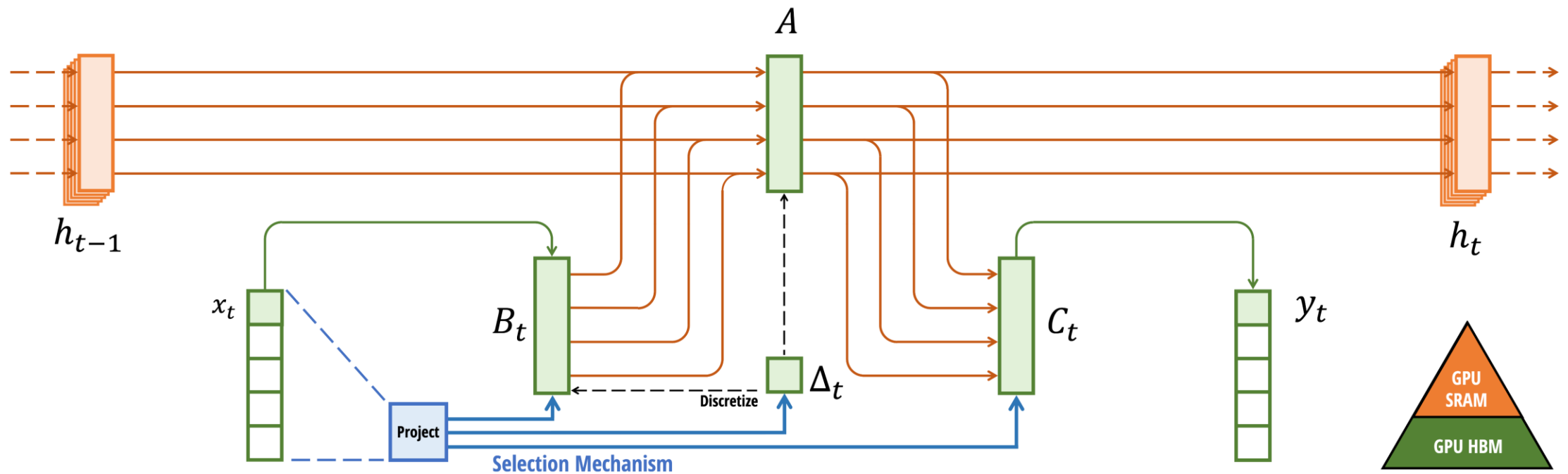
Algorithm 1 Sequence Generative Adversarial Nets

Require: generator policy G_θ ; roll-out policy G_β ; discriminator D_ϕ ; a sequence dataset $\mathcal{S} = \{X_{1:T}\}$

- 1: Initialize G_θ, D_ϕ with random weights θ, ϕ .
- 2: Pre-train G_θ using MLE on \mathcal{S}
- 3: $\beta \leftarrow \theta$
- 4: Generate negative samples using G_θ for training D_ϕ
- 5: Pre-train D_ϕ via minimizing the cross entropy
- 6: **repeat**
- 7: **for** g-steps **do**
- 8: Generate a sequence $Y_{1:T} = (y_1, \dots, y_T) \sim G_\theta$
- 9: **for** t in $1 : T$ **do**
- 10: Compute $Q(a = y_t; s = Y_{1:t-1})$ by Eq. (4)
- 11: **end for**
- 12: Update generator parameters via policy gradient Eq. (8)
- 13: **end for**
- 14: **for** d-steps **do**
- 15: Use current G_θ to generate negative examples and combine with given positive examples \mathcal{S}
- 16: Train discriminator D_ϕ for k epochs by Eq. (5)
- 17: **end for**
- 18: $\beta \leftarrow \theta$
- 19: **until** SeqGAN converges

Nowa nadzieja - Mamaba

Selective State Space Model *with Hardware-aware State Expansion*



Dość nowe rozwiązanie (z grudnia 2023), które rozwiązuje problem złożoności obliczeniowej architektury transformera (kwadratowa), i zamienia ją na złożoność liniową, przy okazji dobrze integrując się z obecnie używanym hardware-em. Okno *look-back* jest zdecydowanie większe, oraz model charakteryzuje się zdecydowanie większą możliwością odwzorowania danych przeszłych. Obecnie pokazane możliwości na ziorach danych z tekstem i DNA, dają lepsze wyniki niż najlepsze modele transformerowe oparte o attention.

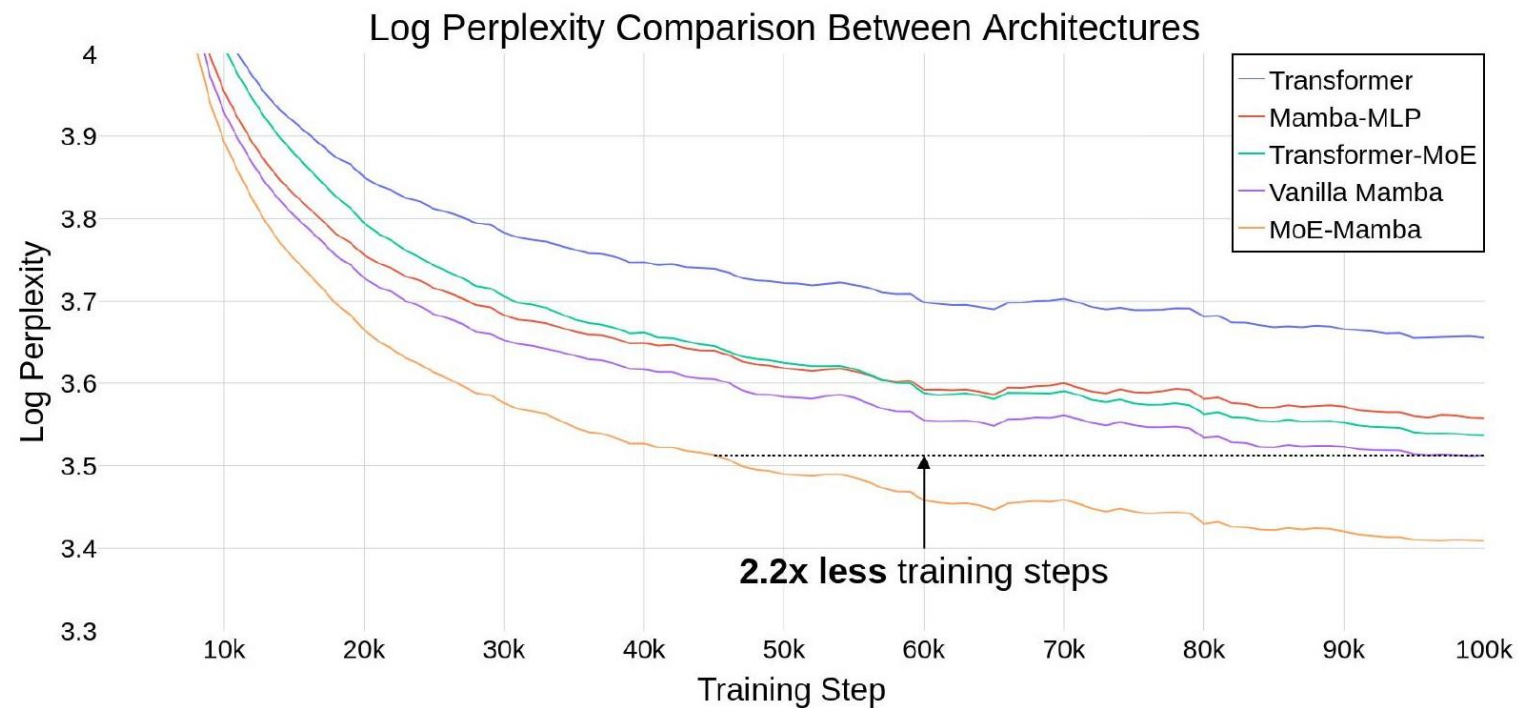


Figure 1. Log perplexity throughout the training of different methods. From top to bottom: Transformer; Mamba interleaved with feed-forward layers (Mamba-MLP); Transformer-Moe; Vanilla Mamba; MoE-Mamba.

